

تلفیق مشاهدات رخداد آکولوئیشن در توموگرافی ضرایب شکست تر جو با استفاده از مدل‌های تابعی سه‌بعدی و چهاربعدی

مسعود دهواری^۱، سعید فرزانه^{۲*} و محمدعلی شریفی^۳

۱. دانشجوی دکتری، دانشکده مهندسی نقشه‌برداری و اطلاعات مکانی، پردیس دانشکده‌های فنی، دانشگاه تهران، تهران، ایران

۲. استادیار، دانشکده مهندسی نقشه‌برداری و اطلاعات مکانی، پردیس دانشکده‌های فنی، دانشگاه تهران، تهران، ایران

۳. دانشیار، دانشکده مهندسی نقشه‌برداری و اطلاعات مکانی، پردیس دانشکده‌های فنی، دانشگاه تهران، تهران، ایران

(دریافت: ۱۴۰۰/۱/۱۸، پذیرش نهایی: ۱۴۰۰/۶/۲۹)

چکیده

بخارآب یکی از مهم‌ترین شاخص‌های جوی است که تعیین دقیق آن به افزایش دقت مدل‌های عددی هواشناسی کمک فراوانی می‌کند. اما تغییرات شدید این پارامتر در مکان و زمان باعث شده است که نتوان مدلی دقیق برای این پارامتر ارائه کرد و درنتیجه مدل‌های عددی هواشناسی دقت لازم را در پیش‌بینی این پارامتر نداشته باشند. امروزه با استفاده از مشاهدات GNSS و به کارگیری روش توموگرافی می‌توان ضرایب شکست تر در هر یک از المان‌های حجمی در نظر گرفته شده را برآورد کرد. اما یکی از پارامترهای تعیین‌کننده دقت مسائل توموگرافی توزیع سیگنال‌های GNSS در داخل شبکه است. استفاده از مشاهدات رخداد آکولوئیشن می‌تواند باعث افزایش تعداد مشاهدات از جنس پارامترهای جوی حتی در نقاطی که مشاهدات ایستگاه‌های GNSS حضور ندارد، شود. هدف از این تحقیق تلفیق مشاهدات آکولوئیشن با مشاهدات GPS به منظور بالا بردن دقت ضرایب شکست برآورده شده در توموگرافی تابعی تروپوسفر است. به منظور برآورده کردن مجھولات مسئله توموگرافی از مدل تابعی با کمک هارمونیک‌های کلادکروی به همراه توابع متعدد تجربی برای تشکیل مدل سه‌بعدی استفاده شده است. همچنین از توابع پایه اسپیلاین برای نمایش توزیع ضرایب شکست تر در زمان و تشکیل مدل چهاربعدی بهره گرفته شده است. منطقه مورد مطالعه، شبکه ایستگاه‌های دائمی در کالیفرنیا در نظر گرفته شده است. پروفیل ضرایب شکست تر حاصل از توموگرافی در دو اپک زمانی (دو فصل مختلف) محاسبه شدند و با داده‌های رادیوسوند مقایسه می‌شوند. نتایج نشان می‌دهد که استفاده از مشاهدات آکولوئیشن در کنار مشاهدات زمینی GPS در توموگرافی انجام شده با استفاده از مدل‌های تابعی سه‌بعدی و چهاربعدی می‌تواند مقدار RMSE پروفیل‌های ضرایب شکست تر را تا حدود ۸ درصد نسبت به توموگرافی انجام شده فقط با استفاده از مشاهدات GPS بهبود دهد.

واژه‌های کلیدی: هارمونیک‌های کلاهکروی، رادیوسوند، برآورد مؤلفه‌های واریانس، تأخیر تروپوسفری تر، توابع اسپیلاین پایه.

۱. مقدمه

مکان و زمان می‌تواند تغییرات اقلیمی یک منطقه را نشان داده و همچنین مدل‌های عددی موجود را بهبود بخشد (بندر و همکاران، ۲۰۱۱). همچنین با دانستن مقدار بخارآب می‌توان تأثیر جو را روی سیگنال‌های مشاهداتی ماهواره‌ای تصحیح کرد و از مشاهداتی با دقت بهتر برای اهداف ژئودزی بهره گرفت. افزایش تعداد ایستگاه‌های سیستم‌های ماهواره‌ای ناوبری جهانی (Global Navigation Satellite System) و همچنین دارا بودن مشاهداتی با قدرت تفکیک زمانی بالا، باعث شده است که امروزه سیستم GNSS به یکی از مهم‌ترین ابزارهای پایش پارامترهای جوی تبدیل شود (فلورس و همکاران،

بخارآب موجود در جو سیگنال‌های مشاهدات ماهواره‌ای را تحت تأثیر قرار می‌دهد و عدم‌وابستگی این پارامتر به مکان و زمان باعث شده است که نتوان امروزه مدلی ثابت و دقیق را برای تصحیح اثر آن بر روی مشاهدات ماهواره‌ای ارائه داد (بویس و همکاران، ۱۹۹۲). امروزه با توجه به کمبود و توزیع ناهمگون ایستگاه‌های رادیوسوند که مقدار بخارآب موجود در لایه‌های مختلف جو را اندازه‌گیری می‌کنند، امکان پویش بخارآب به صورت جهانی و مداوم وجود ندارد و همین امر باعث شده است تا مدل‌های عددی هواشناسی دقت لازم در پیش‌بینی این پارامتر را نداشته باشند. اندازه‌گیری و پایش بخارآب در

توموگرافی می‌شوند (چمپولیون و همکاران، ۲۰۰۵). هیراهیرا (۲۰۰۰) برای حل مسئله با کمک روش‌های پایدارسازی غیرتکراری به مسئله قیدهایی در راستای افقی و ارتفاعی اضافه کرد. همچنین (بندر و همکاران، ۲۰۱۱) برای حل مسئله توموگرافی از روش‌های پایدارسازی تکراری بهره گرفته بود.

از جمله کارهای توموگرافی که در ایران انجام گرفته است می‌توان (اداوی و مشهدی حسین‌علی، ۲۰۱۴) را نام برد که در آن با کمک روش‌های تکراری پایدارسازی در منطقه شمال غربی ایران توزیع چهاربعدی ضرایب شکست تر محاسبه شده بود. از دیگر تحقیقات انجام شده در ایران می‌توان (حاجی آقاجانی و عامریان، ۲۰۱۷) را نام برد که در آن با استفاده از روش بازیابی اشعه و همچنین (Least-Squares QR، LSQR) پایدارسازی تکراری (Least-Squares QR، LSQR) چگالی بخارآب با دقتی بین $0/5 \text{ gr/m}^3$ تا $0/19 \text{ gr/m}^3$ برآورد کرده است. همچنین (حاجی آقاجانی و عامریان، ۲۰۱۷) در مطالعه‌ای که بر روی ایستگاه GPS موجود در شهر تهران انجام گرفته، نشان دادند که استفاده از روش پایدارسازی هیرید مقدار (Root Mean Square، RMS) را برای چگالی بخارآب در حدود $0/39 \text{ gr/m}^3$ نسبت به روش LSQR کاهش می‌دهد.

در روش‌های توموگرافی المان حجمی به علت نیاز به تقسیم‌بندی منطقه موردمطالعه، همواره تعداد مجهولات زیاد است. حاجی آقاجانی و همکاران (۲۰۲۰a) برای ارائه یک مدل توموگرافی با قدرت تفییک مکانی زیاد، روشی را برای تقسیم‌بندی المان‌های حجمی را ارائه دادند که در آن با استفاده از داده‌های مدل عددی (WRF، Weather Research and Forecasting) المان‌های حجمی که در آنها تغییرات بخارآب کم است به یکدیگر تلفیق شده و بدین ترتیب تعداد مجهولات مسئله کاهش می‌یابد. در رویکردی برای کاهش مجهولات توموگرافی، می‌توان با استفاده از مدل‌های تابعی مجهولات مسئله را به توابع پایه متعامد بسط داد. در این صورت مجهولات شامل ضرایب توابع پایه متعامد خواهند بود که تعداد آنها

۲۰۰۰). با توجه به عبور سیگنال‌های ماهواره‌های GNSS از جو، مشاهدات آن تحت تأثیر تأخیر تروپوسفری تر قرار می‌گیرند و با استفاده از تعیین موقعیت دقیق می‌توان مقدار تأخیر تروپوسفری تر را محاسبه کرد (سوبینا و همکاران، ۲۰۱۳). بنابراین این مشاهدات دارای اطلاعات مفیدی از ساختار بخارآب موجود در جو می‌باشند. از اولین مطالعاتی که توانایی مشاهدات GNSS در به دست آوردن بخارآب و پارامترهای جوی موجود در جو را در مقایسه با روش‌هایی مانند رادیوسوند نشان داد می‌توان به بویس و همکاران (۱۹۹۲) اشاره کرد. این دسته از مطالعات فقط مقدار ضرایب شکست تر و یا بخارآب موجود در جو را مشخص کرده و قادر به نشان دادن ساختار و پراکندگی آن در جو نیستند.

یکی از راههایی که می‌توان توزیع بخارآب یا ضرایب شکست تر موجود در منطقه را نشان داد استفاده از روش توموگرافی است که در آن مقدار ضرایب شکست تر موجود در هر المان حجمی ثابت فرض می‌شود و با استفاده از مشاهدات ایستگاه‌های GNSS موجود در شبکه به صورت مسئله معکوس مقدار ضرایب شکست تر موجود در شبکه را برآورد کرد (بندر و راب، ۲۰۰۷). مقدار تأخیر تروپوسفری مشاهدات GNSS اطلاعاتی در مورد توزیع مکانی ضرایب شکست تر در طول مسیر ماهواره ارائه نمی‌دهد اما با استفاده از روش توموگرافی و حل مسئله معکوس، توزیع مکانی ضرایب شکست تر در منطقه را به دست آورد؛ بنابراین روش توموگرافی این مزیت را دارد که می‌توان با استفاده از آن پروفیل‌های ضرایب شکست تر را به دست آورد (آلرانک، ۲۰۱۳). از اولین تحقیقات به کمک روش توموگرافی در زمینه بخارآب می‌توان به فلورس و همکاران (۲۰۰۰) در منطقه هاوایی اشاره کرد. توزیع ناهمگون ایستگاه‌ها در شبکه، خطاهای موجود در مشاهدات و همچنین موازی بودن برخی از سیگنال‌ها، باعث می‌شود تا سیگنال‌های ماهواره‌های GNSS از قسمت‌هایی از شبکه عبور نکند و این مشکلات باعث بدشرطی و همچنین بدوضیع مسئله

مدلی سه بعدی برای پارامتر چگالی الکترون به دست آورد. از جمله کارهایی که در سال های اخیر برای مدل سازی پارامترهای جو با استفاده از مدل های تابعی که برای کل مجہولات مسئله انجام شده است می توان فرزانه و فروتن (۲۰۱۸) را نام برد که در آن برای به دست آوردن ساختار سه بعدی یونسfer از توابع پایه اسپلین و توابع متعامد تجربی استفاده شده است. اشمیت و همکاران (۲۰۱۱) نشان دادند که می توان با استفاده از توابع پایه اسپلاین ضرایب مجہول هارمونیک های کروی را به زمان ارتباط داد و ضرایب را وابسته به زمان به دست آورد.

با استفاده از مشاهدات رخداد آکولوشن (RO، Radio Occultation) امکان پایش و کنترل پارامترهای جوی در مناطقی که ایستگاه های دائم GNSS حضور ندارند میسر شدشده است (دتمرینگ و همکاران، ۲۰۱۱). مشاهدات آکولوشن برخلاف داده های GNSS از جنس پارامترهای جوی هستند و این امکان وجود دارد که با به کار گیری آنها در شبکه به عنوان مشاهده اضافی مجہولات را با دقت بهتری برآورد کرد. ژیا و همکاران (۲۰۱۳) با استفاده از رویکردی دو مرحله ای ابتدا با استفاده از مشاهدات آکولوشن و پایدار سازی غیر تکراری مقدار اولیه مجہولات را تعیین و سپس با استفاده از مقادیر اولیه به دست آمده از مشاهدات آکولوشن و استفاده از روش های تکراری پایدار سازی مقدار بخار آب شبکه را برآورد کرد و نشان داد که استفاده از رویکرد دو مرحله ای می تواند تا حدود ۱۴ درصد دقت را بهبود بخشد. با توجه به هندسه متفاوت داده های آکولوشن نسبت به داده های GNSS و همچنین تعداد متفاوت مشاهدات آنها برای به کار گیری هم زمان دودسته داده در دستگاه معادلات مشاهدات باید وزن نسبی دودسته مشاهده نسبت به هم تعیین شود. چن و همکاران (۲۰۱۷) برای بالا بردن دقت نقشه جهانی یونسfer از داده های آکولوشن استفاده کرد و برای تلقیق این مشاهدات نیز از روش برآورد مؤلفه های واریانس هلمرت استفاده کرد. همچنین می توان به صورت تجربی وزن نسبی به دسته مشاهدات مختلف اختصاص

خیلی کمتر از مجہولات اولیه مسئله یعنی ضرایب شکست تراست (آلرانک، ۲۰۱۳؛ لیو، ۲۰۰۴؛ لیمبر گر، ۲۰۱۵). از اولین مطالعات انجام شده توسط مدل های تابعی بر روی تروپوسفر می توان ژائو و همکاران (۲۰۱۸) را نام برد که در آن از یک تابع چند جمله ای برای نمایش توزیع چگالی بخار آب را در هر لایه استفاده شده بود. همچنین در تحقیقی دیگر حاجی آفاجانی و عامریان (۲۰۲۰a) با ارائه یک مدل تابعی برای چگالی بخار آب در لایه های مختلف ارتفاعی با استفاده از توابع پایه اسپلاین نشان دادند که دقت توموگرافی مدل تابعی بیشتر از توموگرافی بر مبنای المان حجمی است. برخلاف تحقیقاتی که از مدل تابعی فقط برای نمایش توزیع چگالی بخار آب در لایه های مختلف استفاده کرده بودند، می توان مستقیماً مجہولات مسئله توموگرافی یا پارامترهای موردنظر در المان های حجمی مختلف را به توابع پایه متعامد بسط داد. در این صورت فقط یک مدل تابعی برای نمایش توزیع مجہولات در ارتفاعات مختلف در نظر گرفته می شود. از جمله این توابع پایه می توان هارمونیک های کروی را برای نشان دادن یک میدان در سطح جهانی نام برد. این توابع پایه برای نشان دادن میدان در سطح جهانی مناسب می باشد و اگر بخواهیم میدان را در منطقه ای با دقت بیشتری برآورد کنیم باید درجه هارمونیک های کروی یا تعداد ضرایب مجہول را افزایش داد. این افزایش در تعداد مجہولات علاوه بر افزایش حجم محاسبات باعث ناپایدار تر شدن مسئله می شود (آلرانک، ۲۰۱۳). هاینز (۱۹۸۵) نشان داد که می توان با اعمال تغییراتی در توابع هارمونیک کروی، از آنها برای مدل کردن میدان در ناحیه ای از کره استفاده و آنها را هارمونیک های کلاه کروی (Spherical Cap Harmonic) اسم گذاری کرد. آلرانک (۲۰۱۳) نشان داد که می توان از آنالیز هارمونیک های کلاه کروی برای به دست آوردن توزیع سطحی چگالی الکترون و همچنین از توابع متعامد تجربی (Empirical Orthogonal Functions، EOF) محاسبه توزیع ارتفاعی چگالی الکترون استفاده کرد و

توموگرافی بازگو شده و سپس به کارگیری هارمونیک‌های کلاه‌کروی و توابع متعامد تجربی برای ارائه مدل سه‌بعدی توضیح داده می‌شود. در ادامه نیز تشکیل مدل چهاربعدی با به کارگیری توابع پایه اسپیلانین شرح داده شده است. درنهایت در بخش ۲ نیز روش تلفیق مشاهدات آکولیشن و تعیین وزن نسبی آنها با مشاهدات GNSS توضیح داده شده است. در بخش ۳ نیز مشاهدات مورداستفاده و همچنین منطقه‌ی موردمطالعه شرح داده می‌شوند. در بخش ۴ نیز ابتدا پارامترهای مدل تابعی تعیین و پس از تعیین وزن نسبی ضرایب شکست شبکه برآورد شده و نتایج با مشاهدات آکولیشن و همچنین داده‌های مدل عددی ERA5 مقایسه شدشده است.

۲. روش پژوهش

با توجه به مطالب ارائه شده در مقدمه ابتدا روش توموگرافی بر مبنای المان حجمی تشریح می‌شود سپس با توجه به مشکلاتی که در این روش وجود دارد روش توموگرافی بر مبنای توابع پایه (در این تحقیق هارمونیک‌های کلاه‌کروی) بیان خواهد شد.

۱-۲. توموگرافی بر مبنای المان حجمی

توموگرافی جو به معنای بازیابی پارامترها با توجه به اثری است که بر روی سیگنال GNSS در طول می‌گذارند (استر و همکاران، ۲۰۰۵). رایج‌ترین روش آن مدل المان حجمی است که در این روش منطقه موردمطالعه به المان‌های حجمی تقسیم می‌شود و سپس ماتریس طرح با محاسبه طول هر یک از سیگنال‌های GNSS در داخل المان‌های حجمی به دست آمده آورده می‌شود. درنهایت نیز با حل مسئله معکوس می‌توان ضرایب شکست تر موجود در هر کدام از المان‌های حجمی را تعیین کرد. شکل ۱ نمونه‌ای از تقسیم‌بندی جو منطقه را بهمنظور تشکیل مدل المان حجمی نشان می‌دهد.

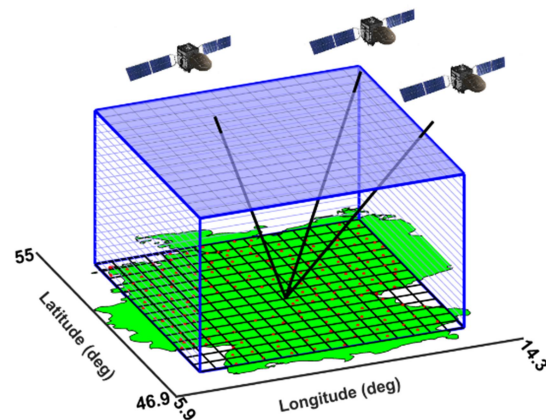
داد. به عنوان مثال علیزاده (۲۰۱۳) برای ترکیب دسته مشاهدات مختلف از جمله مشاهدات آکولیشن به منظور افزایش دقت نقشه‌های جهانی یونسfer از وزن‌دهی تجربی بین دسته مشاهدات مختلف استفاده کرد.

هدف این تحقیق توسعه مدل‌های تابعی سه‌بعدی و چهاربعدی برای بازیابی ضرایب شکست تر جو با استفاده از مشاهدات GNSS و همچنین تلفیق مشاهدات آکولیشن به این مدل‌ها جهت بالا بردن دقت مدل‌ها است. جهت مدل‌سازی سه‌بعدی از هارمونیک‌های کلاه‌کروی برای نمایش مسطحاتی ضرایب شکست تر و همچنین استفاده از توابع متعامد تجربی به دست آمده از داده‌های مدل عددی (Empirical Reanalysis Fifth generation, ERA5) جهت نمایش توزیع ارتفاعی ضرایب شکست تر و درنهایت نیز برای توسعه مدل چهاربعدی و واپسگی مجهولات به زمان نیز از توابع پایه اسپیلانین چندجمله‌ای استفاده شده است. وزن نسبی بین دو دسته مشاهده به گونه‌ای انتخاب شده است که بین نرم باقی‌مانده‌های حاصل از برآورد مجهولات دو دسته مشاهده تعادل ایجاد کند. نتایج نیز در دو حالت تنها استفاده از مشاهدات GNSS و یا تلفیق مشاهدات GNSS و داده‌های آکولیشن، با داده‌های ایستگاه رادیوسوند موجود در شبکه مقایسه شده‌اند. منطقه موردمطالعه ایستگاه‌های Real Time Network (RTN)، California GNSS شبکه (California) انتخاب شده است و نتایج در دو اپک ساعت ۱۲ روز ۲۸ ماه نوامبر ۲۰۱۸ و همچنین ساعت ۱۲ روز ۱۲ ماه می سال ۲۰۱۹ با داده‌های رادیوسوند مقایسه می‌شوند. نتایج نشان می‌دهد که اضافه کردن مشاهدات آکولیشن به هر دو مدل سه‌بعدی و چهاربعدی مقدار RMSE را در حدود ۷ تا ۱۰ درصد کاهش داده است. همچنین نشان داده شده است که ترکیب مشاهدات آکولیشن درروش چهاربعدی دقت بهتری نسبت به روش سه‌بعدی دارد. در این تحقیق ابتدا در بخش ۲ تشکیل ابتدا مدل المان حجمی

برداری شامل ضرایب شکست تر یا همان مجہولات مسئله است. معادله (۳) به علت تعداد زیاد مجہولات و همچنین توزیع پراکنده مشاهدات که باعث می‌شود سیگنال‌ها از بعضی المان‌های حجمی عبور نکنند، یک دستگاه معادلات ناپایدار و بدوضوع است. در این گونه مسائل به دلیل بدوضوعی ماتریس طرح نمی‌توان از روش‌های عادی کمترین مربعات برای برآورد مجہولات استفاده کرد و جواب کمترین مربعات برای پارامترهای مجہول قابل اعتماد نیست (هنسن، ۱۹۹۸). یکی از روش‌های برآورد مجہولات و حل این مشکل انتقال مجہولات مسئله به فضای دیگر است. بر این اساس مجہولات مدل المان حجمی به مجموعه‌ای از توابع اورتونمال بسط داده می‌شوند و در این حالت مجہولات ضرایب توابع پایه استفاده شده است. برای این منظور در این تحقیق از توابع پایه‌ای که از ترکیب هارمونیک‌های کلاه‌کروی و توابع متعامد تجربی حاصل می‌شوند، برای تشکیل مدل تابعی استفاده شده است. در ادامه نحوه انتقال به فضای مدل تابعی توضیح داده خواهد شد.

۲-۲. توموگرافی بر مبنای توابع پایه

برای انتقال مجہولات از فضای مدل المان حجمی به فضای مدل تابعی نیاز است تا مجہولات مسئله (ضرایب شکست تر) بر اساس توابع پایه متعامدی بسط داده شوند. در این صورت تعداد مجہولات فقط به تعداد ضرایب توابع پایه تشکیل‌دهنده مدل تابعی کاهش می‌یابد و مسئله از حالت بدوضوعی بیرون می‌آید. در این تحقیق برای ارائه مدل تابعی از توابع هارمونیک‌های کلاه‌کروی برای نمایش پایه‌های مستطحاتی فضا، توابع متعامد تجربی (EOF) برای ساختن پایه‌های ارتفاعی فضا و تشکیل مدل سه‌بعدی و درنهایت نیز از توابع پایه اسپیلانین جهت نمایش یک مدل وابسته به زمان و ساخت مدل تابعی چهار بعدی استفاده شده است. در ادامه نحوه به کارگیری هارمونیک‌های کلاه‌کروی و توابع متعامد تجربی و همچنین توابع پایه اسپیلانین توضیح داده خواهد شد.



شکل ۱. نمونه‌ای از تشکیل مدل المان حجمی با استفاده از مشاهدات GNSS.

مشاهدات تأخیر تروپوسفری تر ماهواره‌های تعیین موقعیت جهانی را می‌توان به صورت زیر نوشت (بویس و همکاران، ۱۹۹۲):

$$SWD = 10^{-6} \int_L N_w dl \quad (1)$$

که در آن SWD عبارت است از تأخیر تروپوسفری تر، L طول سیگنال و همچنین N_w ضریب شکست تر است. با فرض ثابت بودن ضرایب شکست تر در هر یک از المان‌های حجمی می‌توان معادله (۱) را برای تأخیر تروپوسفری تر به صورت زیر نوشت (بندر و همکاران، ۲۰۱۳):

$$SWD = \sum_{i,j,k} N_{i,j,k} D_{i,j} \quad (2)$$

در فرمول بالا i و j و k موقعیت المان حجمی را در راستای x و y و z مشخص می‌کنند. همچنین $N_{i,j,k}$ عبارت از ضریب شکست تر در المان حجمی موردنظر و $D_{i,j}$ عبارت است از طولی که سیگنال در المان حجمی موردنظر طی کرده است. با استفاده از مشاهدات تأخیر تروپوسفری تر می‌توان دستگاه معادلات مشاهدات زیر را تشکیل داد (حاجی‌آقاجانی و همکاران، ۲۰۲۰b):

$$Y = A N \quad (3)$$

که در آن Y بردار مشاهدات تأخیر تروپوسفری تر است. همچنین A ماتریس طرح مسئله که شامل طول پیموده شده توسط هر سیگنال در هر المان حجمی است. N نیز

که در آن k_{\max} بیشترین درجه‌ای است که با برش بسط در آن به نزدیک‌ترین تقریب ازتابع مورد دست یافت. تابع لزاندر جدید $P_{n_k}^m(\cos\theta)$ نیز دارای مرتبه صحیح m ولی درجه غیر صحیح n است و جزئیات محاسبه آن را می‌توان در آلفانک (۲۰۱۳) مشاهده کرد. با استفاده از هارمونیک‌های کلاه‌کروی می‌توان ضرایب شکست تر شبکه را به صورت زیر بسط داد:

$$N_i(\lambda, \theta) = \sum_{k=0}^{k_{\max}} \sum_{m=0}^k [a_n^m \cos(m\lambda) + b_n^m \sin(m\lambda)] P_{n_k}^m(\cos\theta) \quad (7)$$

در معادله بالا پارامترهای λ و θ به ترتیب طول و عرض مربوط به سیستم مختصات هارمونیک‌های کلاه‌کروی هستند (آلفانک، ۲۰۱۳). درنتیجه معادله (۳) را می‌توان به صورت زیر بازنویسی کرد:

$$Y = A(A'x) \quad (8)$$

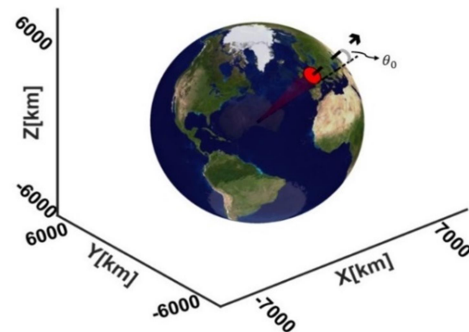
در معادله بالا ماتریس A' جدید شامل هارمونیک‌های کلاه‌کروی و ابعاد آن $n \times N$ خواهد بود که N برابر تعداد ضرایب بسط هارمونیک‌های کلاه‌کروی یعنی $(k_{\max} + 1)^2$ خواهد بود. همچنین ماتریس x شامل ضرایب بسط است.

۲-۲-۲. توابع متعامد تجربی

معادله (۷) نشان می‌دهد که تابع هارمونیک کلاه‌کروی برای نمایش توزیع مسطحاتی ضرایب شکست تر به کار گرفته شده‌اند. در این تحقیق برای نمایش توزیع ارتفاعی از تابع متعامد تجربی که پایه‌های ارتفاعی فضا را تشکیل می‌دهند، استفاده شده است (آلفانک، ۲۰۱۳). توابع متعامد تجربی با کمک مشاهدات مربوط به کمیت موردنظر به دست می‌آیند و بیانگر بیشینه واریانس موجود در داده‌ها هستند (فروتن، ۲۰۱۴)؛ بنابراین برای ساخت آنها به پروفیل‌های ضرایب شکست تر در زمان‌های مختلف و در ارتفاع‌های مختلف نیاز است. داده‌های باز تحلیل ERA5 به صورت شبکه‌هایی با تفکیک سطحی $0/25$ درجه و همچنین تفکیک زمانی یک ساعته هستند که در آنها

۱-۲-۲. هارمونیک‌های کلاه‌کروی

درصورتی که هدف مدل‌سازی میدان در ناحیه‌ای از کره باشد، دیگر تابع هارمونیک کروی مناسب‌ترین پایه‌ها برای بسط دادن تابع در ناحیه موردنظر نمی‌باشند چراکه تابع لزاندر فقط بر روی سطح کره خاصیت اورتوگونال بودن را دارند (هاینز، ۱۹۸۵). برای حل این مشکل می‌توان از هارمونیک‌های کلاه‌کروی را استفاده کرد. در این روش برای بسط دادن تابع در ناحیه‌ای کلاه‌گونه در قسمتی از کره از تابع لزاندری به عنوان پایه استفاده می‌کند که دارای مرتبه صحیح m ولی درجه غیر صحیح n هستند. تابع لزاندر جدید و مشتقات آنها دارای مقادیر صفر در گوشش‌های منطقه کلاه‌گونه با نیم‌زاویه θ_0 هستند به عنوان مثال در شکل ۲ می‌توان ناحیه کلاه‌گونه را با نیم‌زاویه θ_0 مشاهده کرد.



شکل ۲. شکلی از ناحیه کلاه‌گونه با نیم‌زاویه θ_0 .

شرطی مرزی برای به کارگیری هارمونیک‌های کلاه‌کروی را می‌توان به صورت زیر نوشت:

$$\frac{dP_{n_k}^m(\cos\theta_0)}{d\theta} = 0, \text{ for } k-m = \text{even} \quad (4)$$

$$P_{n_k}^m(\cos\theta_0) = 0, \text{ for } k-m = \text{odd} \quad (5)$$

مقدار n_k را می‌توان با حل معادلات بالا تعیین کرد. درنتیجه می‌توان تابع $f(\lambda, \theta)$ را ببروی ناحیه‌ای از کره با استفاده از تابع لزاندر جدید را می‌توان به صورت زیر نوشت:

$$f(\lambda, \theta) = \sum_{k=0}^{k_{\max}} \sum_{m=0}^k [a_n^m \cos(m\lambda) + b_n^m \sin(m\lambda)] P_{n_k}^m(\cos\theta) \quad (6)$$

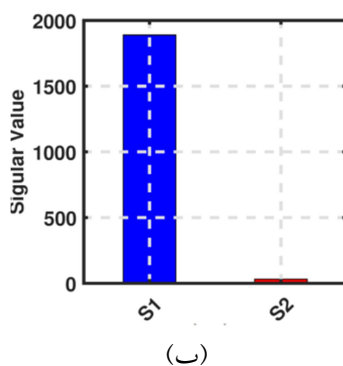
تابع متعامد تجربی خواهند بود (آلفانک، ۲۰۱۳). این بردارها بیانگر نحوه رفتار متغیرهای تصادفی هستند؛ بنابراین هرچه یک مقدار ویژه بزرگ‌تر باشد تابع متعامد تجربی متناظرش سهم بیشتری در رفتار سیستم خواهد داشت و بقیه تابع متعامد تجربی که متناظر با مقادیر ویژه کوچک هستند، به دلیل خطاهای اتفاقی موجود در داده‌ها می‌باشند (بیورنسن، ۱۱۹۷). تابع پایه ارتفاعی با استفاده از EOF‌ها را می‌توان به صورت زیر نوشت (بیورنسن، ۱۱۹۷):

$$F = \sum_{j=1}^p \alpha_j (\text{EOF})_j = \sum_{j=1}^p Z_j \quad (13)$$

که در معادله بالا α_j ضرایب تابع پایه ارتفاعی و همچنین p نیز مقدار بیشینه تعداد تابع متعامد تجربی است؛ بنابراین با ترکیب SCH و EOF‌ها می‌توان توزیع سه‌بعدی ضرایب شکست تر را به صورت زیر نوشت:

$$N_i(\lambda, \theta, h) = \sum_{q=1}^Q \sum_{k=0}^{k_{\max}} \sum_{m=0}^k [a_n^m \cos(m\lambda) + b_n^m \sin(m\lambda)] P_{n_k}^m(\cos\theta) Z_q(\lambda, \theta, h) \quad (14)$$

که در آن پارامتر h ارتفاع مربوط به المان حجمی موردنظر را مشخص می‌کند. همچنین $Z_q(\lambda, \theta, h)$ تابع متعامد تجربی را نشان می‌دهد و Q درجه EOF‌ها را نشان می‌دهد؛ بنابراین تعداد مجھولات ما برابر $Q \times (k_{\max} + 1)^2$ خواهد بود. شکل ۳ مقادیر دو تابع متعامد تجربی و همچنین مقادیر منفرد به دست آمده از پروفیل‌های ضرایب شکست تر داده‌های موجود در ساعت ۱۲ روز ۲۸ نوامبر سال ۲۰۱۸ را نشان می‌دهد. با توجه به شکل ۳-ب مقدار اولین EOF حدود ۹۹ درصد رفتار تابع را نمایش می‌دهد.



(ب)

مقدار دما و همچنین رطوبت نسبی در لایه‌های مختلف جو وجود دارند (هرسیج و همکاران، ۲۰۲۰). با استفاده از داده‌های ERA5 به مدت دو ساعت قبل از اپک توموگرافی می‌توان پروفیل‌های ضرایب شکست تر را در نقاط شبکه به دست آورد و از آنها برای ساخت تابع متعامد تجربی استفاده کرد. با استفاده از داده‌های ERA5 می‌توان ضرایب شکست تر را به صورت زیر محاسبه کرد (توصیه‌نامه سازمان ITU، ۲۰۰۱):

$$e_s = ae^{\left(\frac{bt}{t+c}\right)} \quad (9)$$

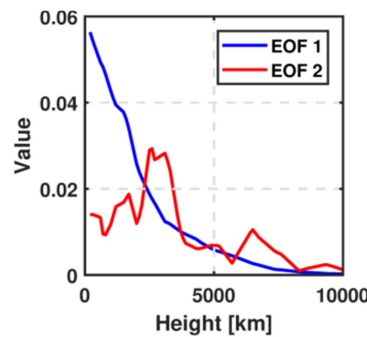
$$e = \frac{He_s}{100} \quad (10)$$

$$N_w = 3.732 \times 10^5 \frac{e}{T^2} \quad (11)$$

در این روابط e_s فشار بخار آب اشاعر شده بر حسب t درجه Celsius، H رطوبت نسبی و T نیز دما بر حسب کلوین است. ضرایب ثابت نیز برابر با کنار هم قرار دادن ضرایب شکست تر در مکان‌ها و زمان‌های موردنظر می‌توان ماتریس داده‌های ضرایب شکست تر را به صورت زیر نوشت (آلفانک، ۲۰۱۳):

$$D_w = \begin{bmatrix} N(\lambda_1, \varphi_1, h_1, t_1) & \dots & N(\lambda_1, \varphi_1, h_1, t_n) \\ \vdots & \ddots & \vdots \\ N(\lambda_i, \varphi_j, h_k, t_1) & \dots & N(\lambda_i, \varphi_j, h_k, t_n) \end{bmatrix} \quad (12)$$

در این ماتریس ستون‌ها بیانگر سری زمانی ضرایب شکست تر و همچنین سطرهای آن بیانگر ضرایب شکست تر در نقاط مختلف می‌باشند. بردارهای ویژه ماتریس D_w



(الف)

شکل ۳. نمونه‌ای از EOF‌ها در تاریخ ۲۸ نوامبر ۲۰۱۸. (الف) مقدار دو تابع متعامد تجربی اول و ب) مقادیر منفرد متناظر به دو بردار ویژه اول را نشان می‌دهد.

و همچنین بردار u_q شامل توابع پایه اسپیلاین است. با قراردادن معادله (۱۸) در (۸) می‌توان نوشت:

$$Y = ACU \quad (۱۹)$$

که در آن Y ماتریس مشاهدات و همچنین ماتریس U با بعد به صورت $[u_1, u_2, \dots, u_q] = U$ خواهد بود. برای به دست آوردن مجھولات باید معادله (۱۹) با کمک ضرب تansوری بازنویسی شود (اشمیت و همکاران، ۲۰۱۱):

$$\text{vec}Y + \text{vec}E = (U^T \otimes A) \text{vec}C \quad (۲۰)$$

درنهایت با معرفی ماتریس‌های $X_1 = U^T \otimes A$ و همچنین $\beta_1 = \text{vec}C$ می‌توان نوشت:

$$\hat{\beta}_1 = (X_1^T P X_1)^{-1} X_1^T P \text{vec}Y \quad (۲۱)$$

در رابطه بالا P ماتریس وزن مشاهدات است و فرض می‌شود که مشاهدات وابستگی ندارند و وزن همه آنها یکسان است. با کمک معادله (۲۱) می‌توان ضرایب مجھول وابسته به زمان را بآورد.

۳-۳. برآورد مؤلفه‌های واریانس

با تلفیق مشاهدات آکولوئیشن می‌توان مجھولات مسئله را به صورت زیر بیان کرد (کوخ و کوش، ۲۰۰۲):

$$\hat{x} = \left(\frac{1}{\sigma_1^2} \dot{A}_{GPS}^T A_{GPS} + \frac{1}{\sigma_2^2} \dot{A}_{RO}^T A_{RO} \right)^{-1} \times \left(\frac{1}{\sigma_1^2} \dot{A}_{GPS}^T y_{GPS} + \frac{1}{\sigma_2^2} \dot{A}_{RO}^T y_{RO} \right) \quad (۲۲)$$

که در این معادله ماتریس A_{GPS} و A_{RO} به ترتیب بیان‌کننده ماتریس ضرایب مشاهدات GNSS و آکولوئیشن حاصل از مدل تابعی سه‌بعدی و یا چهاربعده هستند. بردارهای y_{RO} و y_{GPS} نیز به ترتیب بیان‌کننده مشاهدات GNSS و آکولوئیشن هستند. همچنین σ_1 و σ_2 نیز به ترتیب انحراف‌معیار مشاهدات GNSS و آکولوئیشن را نشان می‌دهند. می‌توان پارامتر وزن نسبی دو دسته مشاهده را به صورت زیر تعیین نوشت و معادله (۲۲) را بازنویسی کرد (کوخ و کوش، ۲۰۰۲):

۳-۲-۲. توابع پایه اسپیلاین

برای به دست آوردن مجھولات مسئله بر حسب زمان می‌توان از توابع پایه اسپیلاین چندجمله‌ای استفاده کرد (اشمیت و همکاران، ۲۰۱۱). تابع $h(x)$ را می‌توان به صورت زیر با کمک توابع پایه اسپیلاین چندجمله‌ای بسط داد:

$$h(x) = \sum_{k=0}^{k-1} c_k^j \phi_k^j(x) \quad (۱۵)$$

که در آن C_k^j عبارت است از ضرایب مجھول وابسته به زمان و ϕ_k^j تابع پایه است. برای مدل‌سازی منطقه‌ای سیگنان $\Phi_k(x) = \phi_k(x) = N_{K,m}^j(x)$ تابع نوشت: $N_{K,m}^j(x) = \sum_{k=0}^{k-1} c_k^j N_{K,m}^j(x)$ که در آن $N_{K,m}^j(x)$ تابع نرمال شده اسپیلاین از درجه m هستند. همچنین $[x \in [0,1]]$ است و $j \in [1, 2, \dots, k_0]$ رزولوشن سطح پایه اسپیلاین است و $k \in [1, 2, \dots, k_0]$ تابع اسپیلاین متماز را نشان می‌دهد که تعداد کل آنها برابر $k_\phi = 2^j + m - 1$ خواهد بود (شوماخر و همکاران، ۱۹۹۱). پایه‌های اسپیلاین چندجمله‌ای نرمال شده را می‌توان به کمک رابطه تکراری زیر به دست آورد:

$$N_{K,m}^j(x) = \frac{x - v_k^j}{v_{k+m-1}^j - v_k^j} N_{K,m-1}^j(x) + \frac{v_{k+m}^j - x}{v_{k+m}^j - v_{k+1}^j} N_{K+1,m-1}^j(x), \quad m \geq 2 \quad (۱۶)$$

در رابطه بالا v_k^j نقاط گرهی توابع اسپیلاین می‌باشد که در بازه $[0, 1]$ پخش شده‌اند. برای به کار گیری اسپیلاین چندجمله‌ای و به دست آوردن مجھولات وابسته به زمان می‌توان در معادله (۱۶) ضرایب هارمونیک‌های کلاه‌کروی را به صورت زیر نوشت:

$$c_{n,m}(t_q) = \sum_{k=0}^{k-1} c_{n,m,k}^j \phi_k^j(t_q) \quad (۱۷)$$

معادله (۱۷) را می‌توان به ازای تمام ضرایب مجھول به صورت زیر نوشت:

$$c_q = C_u_q \quad (۱۸)$$

در رابطه بالا C شامل ضرایب مجھول وابسته به زمان است

کل را هر ایستگاه موجود در شبکه برآورده می‌کند و با کم کردن قسمت خشک تأخیر تروپوسفری می‌توان قسمت تر تأخیر تروپوسفری را به دست آورد. برای پردازش داده‌های GPS و حل تعیین موقعیت دقیق از مشاهدات عاری از یونسfer استفاده شده است. همچنین برای محاسبه مقدار اولیه تأخیر تروپوسفری خشک از Global Pressure and Temperature (بوهم و همکاران، ۲۰۰۷) که از سری مدل‌های عددی پیش‌بینی اطلاعات هواشناسی است Global (GMF)، استفاده شده است. همچنین از مدل (Mapping Function) (بوهم و همکاران، ۲۰۰۶) به عنوانتابع تصویر برای تأخیرهای تروپوسفری تر و خشک به کار گرفته شده است. علاوه بر این در عملیات پردازش نیز برای افزایش دقت مجھولات برآورده شده، گرادیان‌های جوی با فاصله زمانی ۶ ساعت و در دو جهت شمالی-جنوبی و شرقی-غربی اعمال شده‌اند (فلورس و همکاران، ۲۰۰۰). برای اطلاعات مداری موردنیاز برای پردازش نیز از محصولات نهایی (IGS، International GNSS Service) استفاده شده است. مقدار تأخیر تروپوسفری تر نیز در بازه‌های یک ساعت به برآورده شده است. درنهایت برای مشاهدات ورودی مسئله توموگرافی از تأخیر تروپوسفری تر به دست آمده با استفاده از تعیین موقعیت دقیق ایستگاه‌های موجود استفاده شده است.

۲-۳. مشاهدات آکولوشن

از رخداد آکولوشن ماهواره‌های تعیین موقعیت جهانی می‌توان برای به دست آوردن پروفیل‌های مختلف جو مانند دما، ضریب شکست، چگالی الکترون، فشار و بخارآب استفاده کرد (ژو و همکاران، ۲۰۰۹). در این فن یک ماهواره موجود در مدار ارتفاع پایین سیگنال ماهواره GNSS که در حال گردش به دور زمین است را دریافت می‌کند. با دانستن مقدار دقیق خطاهای مداری و همچنین خطاهای ساعت ماهواره‌های GNSS و ماهواره ارتفاع پایین می‌توان مقدار فاز اضافی تولید شده به علت تأثیرات

$$\alpha = \frac{\sigma_1^2}{\sigma_2^2} \quad (23)$$

$$\hat{x} = \left(A_{GPS}^T A_{GPS} + \alpha A_{RO}^T A_{RO} \right)^{-1} \left(A_{GPS}^T y_{GPS} + \alpha A_{RO}^T y_{RO} \right) \quad (24)$$

در معادله (۲۴) پارامتر α وزن نسبی دودسته مشاهده را تعیین می‌کند. هر چه این پارامتر بیشتر باشد تأثیر مشاهدات آکولوشن روی جواب نهایی بیشتر خواهد بود و بر عکس هرچه این پارامتر به سمت صفر میل کند، به نحوی تأثیر مشاهدات آکولوشن بر روی جواب برآورده شده از بین خواهد رفت (علیزاده و همکاران، ۲۰۱۱). به بیانی دیگر می‌توان گفت که هر چه پارامتر α بزرگ‌تر باشد جواب کمترین مربعات در معادله به سمتی خواهد رفت که نرم باقی‌مانده‌های مشاهدات آکولوشن کمتر شود و بر عکس هرچه پارامتر آلفا کوچک‌تر شود، جواب کمترین مربعات نرم باقی‌مانده‌های مشاهدات GNSS را کمینه می‌کند. بنابراین پارامتر α باید به گونه‌ای انتخاب شود بین نرم باقی‌مانده‌های دودسته مشاهده تعادل را ایجاد کند (کوخ و کوش، ۲۰۰۲). درنتیجه تابع هدف تعیین پارامتر وزن نسبی دودسته مشاهده را می‌توان به صورت زیر تعریف کرد:

$$\hat{x} = \operatorname{argmin}_x \left\{ \|A_{GPS}x - y_{GPS}\|_2 + \alpha \|A_{RO}x - y_{RO}\|_2 \right\} \quad (25)$$

مقدار پارامتری که به ازای آن معادله کمینه شود به عنوان وزن نسبی انتخاب می‌شود.

۳. مشاهدات و شبکه موردمطالعه

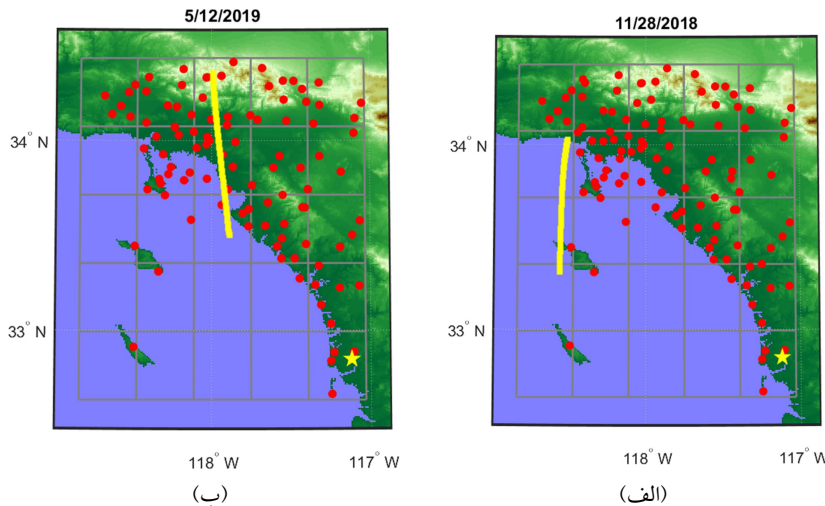
۱-۳ مشاهدات سیستم‌های ماهواره‌ای ناوبری جهانی
مشاهدات ماهواره‌های GNSS در مسیر خود از ماهواره تا گیرنده زمینی از جو عبور کرده و تحت تأثیر بخارآب چار خطای تروپوسفری تر قرار می‌شوند. مقدار این تأخیر غالباً با استفاده حل تعیین موقعیت دقیق ایستگاه‌های موجود در شبکه به دست آورده می‌شود. برای حل مسئله تعیین موقعیت دقیق ایستگاه‌ها از نرم‌افزار & GAMIT GLOBK استفاده شده است که، مقدار تأخیر تروپوسفری

آنها مقدار ضریب شکست تر را محاسبه کرد (ژو و همکاران، ۲۰۰۹). با توجه به این که موقعیت و ارتفاع نقاط مشاهداتی آکولتیشن درون فایل داده‌های آن موجود است می‌توان مشاهدات موجود در شبکه را پیدا کرده و از مشاهدات آکولتیشن در توموگرافی استفاده کرد.

۳-۳. منطقه مورد مطالعه

در این تحقیق شبکه ایستگاه‌های لحظه‌ای کالیفرنیا در نظر گرفته شده است چراکه کالیفرنیا یک منطقه فعال از نظر تکتونیکی است. بهمین دلیل در این منطقه پراکندگی ایستگاه‌های GNSS زیاد است و برای شبکه‌بندي توموگرافی مناسب است. منطقه مورد مطالعه بین طول‌های جغرافیایی [۱۱۸/۶۸ - ، ۱۱۶/۸۹] درجه و همچنین بین عرض‌های جغرافیایی [۳۲/۶۳ ، ۳۴/۴۳] است. برای ارزیابی نتایج از مشاهدات ایستگاه رادیوسوند NKK استفاده شده است که ارتفاع آن از سطح دریا در حدود ۱۳۷ متر است. با توجه به استفاده از داده‌های رادیوسوند برای ارزیابی نتایج تحقیق، زمان توموگرافی در ساعت ۱۲ روزهای ۲۸ ماه نوامبر سال ۲۰۱۸ و همچنین روز ۱۲ ماه می سال ۲۰۱۹ انتخاب شده است. زمان رخداد آکولتیشن مربوط به روز ۲۸ نوامبر سال ۲۰۱۸ در ساعت ۱۲ و ۴۰ دقیقه است و بنابراین بازه توموگرافی انجام شده در این روز بین ساعت‌های ۱۲ تا ۱۳ در نظر گرفته شده است. همچنین رخداد آکولتیشن روز ۱۲ ماه می سال ۲۰۱۹ در ساعت ۱۱ و ۳۰ است و بازه توموگرافی انجام شده در این روز بین ساعت‌های ۱۱ تا ۱۲ انجام گرفته است. در شکل ۴، می‌توان منطقه مورد مطالعه، شبکه‌بندي مسطحاتی المان‌های حجمی، ایستگاه‌های GNSS موجود در شبکه، ایستگاه رادیوسوند، و همچنین مشاهدات رخداد آکولتیشن موجود در هر اپک را مشاهده کرد.

جو و تروپوسفر را به دست آورد و از آن به همراه مشاهدات دامنه تغییرات برای بازیابی زاویه خمش استفاده کرد (ژو و همکاران، ۲۰۰۹). با حرکت این دو ماهواره در مدارهایشان، خط دید آنها از لایه‌های مختلف جو زمین عبور کرده و امکان به دست آوردن پروفیل پارامترهای مختلف را به وجود می‌آورد. رخداد آکولتیشن فقط در شرایطی رخ می‌دهد که ماهواره‌های GPS و ماهواره مدار پایین در دو طرف مختلف زمین قرار داشته باشند تا سیگنال ماهواره GPS پس از گذر از جو زمین دچار خمش شده و به ماهواره مدار پایین در طرف دیگر زمین برسد. پارامتری که موجب خمش سیگنال می‌شود، ضریب شکست محیط است. بنابراین با دانستن مقدار خمش می‌توان ضرایب شکست محیط را محاسبه کرد و چون ضرایب شکست محیط وابسته به پارامترهای جوی و تروپوسفری می‌باشد، می‌توان این پارامترها را تعیین کرد. جزئیات محاسبه پروفیل پارامترهای جوی با استفاده از رخداد آکولتیشن را می‌توان در شریفی و همکاران (۲۰۱۳) مشاهده کرد. از مأموریت‌های مختلفی که باهدف جمع آوری مشاهدات RO (Constellation Observing System for COSMIC) (Korean Multi-purpose Satellite 5، KOMSAT5) (Meteorology, Ionosphere and Climate) و همچنین (KOMSAT5) نام برد. از مشاهدات آکولتیشن می‌توان در مناطقی که امکان استفاده از گیرنده‌های GNSS وجود ندارند، بهره گرفت. همچنین این مشاهدات با یک هندسه کاملاً متفاوت با مشاهدات ایستگاه‌های زمینی به دست می‌آیند و پروفیل‌هایی با رزولوشن ارتفاعی در حدود ۱۰۰ متر را نتیجه می‌دهند (دتمرینگ و همکاران، ۲۰۱۱). پروفیل‌های آکولتیشن تر موجود شامل داده‌های دما، فشار بخار آب و فشار در ارتفاعات مختلف هستند که می‌توان با استفاده از



شکل ۴. منطقه مورد مطالعه در (الف) ۲۸ نوامبر سال ۲۰۱۸ و (ب) ۱۲ می سال ۲۰۱۹. دایره های قرمزرنگ ایستگاه های GNSS، ستاره زردرنگ ایستگاه رادیوسوند و مریع های زردرنگ نیز مشاهدات آکولوئیشن را نشان می دهند.

$$RMSE = \sqrt{\frac{1}{N} \sum_{i=1}^N (N_{wm}^i - N_{w0}^i)^2} \quad (26)$$

که در رابطه های بالا N تعداد مجھولات در پروفیل بازیابی شده، N_{wm}^i ضریب شکست تر به دست آمده از جواب توموگرافی در المان حجمی α و همچنین N_{w0}^i ضریب شکست تر مربوط به داده رادیوسوند نظیر است.

۴. بحث و نتایج

۴-۱. تعیین پارامترهای مدل تابعی

همان گونه که قبلاً نیز بیان شد هدف این تحقیق مقایسه به کارگیری مشاهدات آکولوئیشن در توموگرافی انجام گرفته توسط مدل های تابعی سه بعدی و چهار بعدی است. برای این منظور ابتدا با استفاده از مشاهدات GPS مدل های تابعی سه بعدی (معادله (۱۴)) و همچنین چهار بعدی (معادله (۱۵)) توسعه می یابند و ضرایب شکست تر شبکه با استفاده از این مدل ها بازیابی می شود و نتایج در این دو حالت با داده های رادیوسوند مقایسه می شود.

برای توسعه مدل سه بعدی با توجه به معادله (۱۴) باید درجه هارمونیک های کلاه کروی (k_{max}) و همچنین تعداد توابع متعامد تجربی (Q) تعیین شود. همچنین برای توسعه مدل چهار بعدی با توجه به معادله (۱۵) باید درجه

تعداد ایستگاه های GNSS موجود در اپک روز ۲۸ ماه نوامبر سال ۲۰۱۸ و همچنین روز ۱۲ ماه می سال ۲۰۱۹ به ترتیب برابر ۱۱۱ و ۱۰۳ است. کمترین ارتفاع ایستگاه های موجود در شبکه، ارتفاع -۲۷ متر از سطح دریا است؛ به همین دلیل در شبکه بندی، حد پایین ارتفاعی ۵۰ متر در نظر گرفته شده است. با توجه به این که ضرایب شکست تر تقریباً بعد از ارتفاع ۹ کیلومتری نزدیک به صفر است و تغییرات آنها کم است، می توان بیشترین ارتفاع موردنظر برای مطالعه ضرایب شکست تر موجود در تروپوسfer را تقریباً در حدود ۱۰ کیلومتر در نظر گرفت (بندر و همکاران، ۲۰۱۱). ابعاد منطقه موردمطالعه ۲۰۰ کیلومتر در راستای طول جغرافیایی و همچنین ۲۰۰ کیلومتر در راستای عرض جغرافیایی است. فاصله افقی و ارتفاعی المان های حجمی با توجه به پراکندگی ایستگاه های موجود به ترتیب ۴۰ کیلومتر و ۵۰ متر در نظر گرفته شده است؛ بنابراین با توجه تقسیم بندی در نظر گرفته شده تعداد المان های حجمی موجود در شبکه ۵۰۰ است.

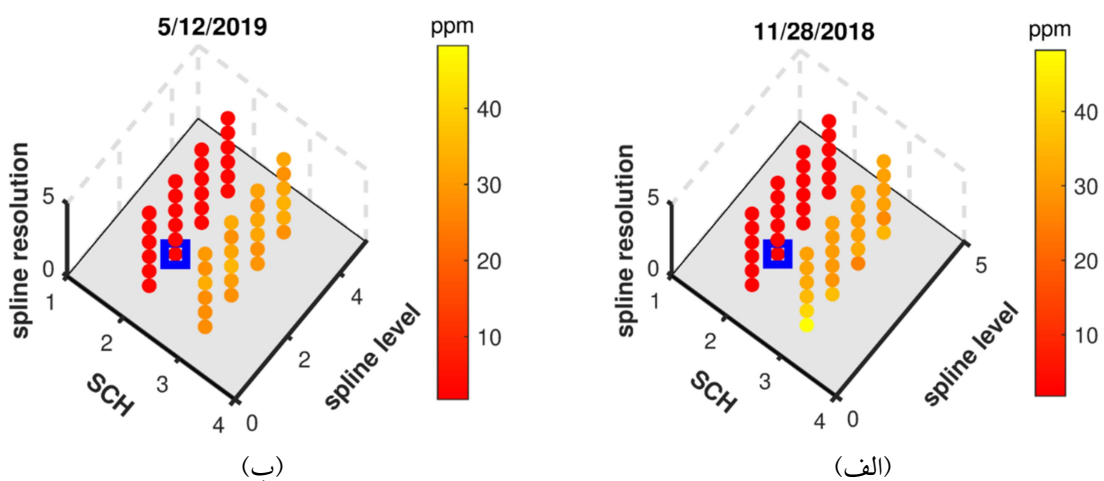
برای مقایسه مجھولات به دست آمده با داده های Root Mean Square از پارامتر (Error) استفاده شده است و به صورت زیر محاسبه می شود (زیا و همکاران، ۲۰۱۳):

مشاهدات رادیوسوند است؛ بنابراین در گام بعدی مدل تابعی با پارامترهای در نظر گرفته شده توسعه داده شده و مشاهدات آکولتیشن با مدل تابعی تلفیق می‌شوند.

۴-۲. تعیین وزن نسبی بین دسته مشاهدات
 در بخش ۵-۳ گفته شد که برای اضافه کردن مشاهدات آکولتیشن به مدل تابعی و تلفیق آنها با مشاهدات GPS باید وزن نسبی بین این دو دسته مشاهده تعیین شود. تعداد مشاهدات GPS برای اپک توموگرافی روز ۲۸ نوامبر سال ۲۰۱۸ و همچنین روز ۱۲ می سال ۲۰۱۹ به ترتیب برابر ۶۸۵۰۰ و ۵۲۳۰۰ است. همچنین تعداد مشاهدات آکولتیشن در این دو روز به ترتیب برابر ۹۸ و ۹۶ است و این داده‌های در محدوده ارتفاعی ۲۰۰ متری تا ۹۹۰۰ متری از سطح زمین قرار دارند. با توجه به تعداد بیشتر مشاهدات GPS به آکولتیشن در هر دو اپک در صورتی که وزن دو مشاهده یکسان در نظر گرفته شود و یا پارامتر وزن نسبی کوچک انتخاب شود، مشاهدات آکولتیشن تأثیری در برآورد انجام گرفته نخواهد داشت (علیزاده و همکاران، ۲۰۱۱).

توابع پایه اسپلاین (m) و همچنین رزولوشن سطح پایه اسپلاین (j) تعیین شود. همان‌گونه که قبل از بخش ۳-۳ گفته شد و با توجه به این که اولین EOF در حدود ۹۹ درصد رفتار تابع را نمایش می‌دهد، مقدار Q برابر یک در نظر گرفته شده است. برای تعیین بقیه پارامترها می‌توان از یک روش تجربی استفاده کرد (آلانک، ۲۰۱۳؛ رزین و وشویقی، ۲۰۱۷). برای این منظور در دو اپک مورد نظر مدل تابعی به ازای $m = [1,2,3,4]$ و $k_{max} = [2,3]$ $[0,1,2,3,4,5]$ = ر تشکیل می‌شود و ضرایب شکست تر به ازای هر کدام از پارامترها بدست آورده می‌شوند. با مقایسه ضرایب شکست تر بدست آمده با استفاده از RMSE هر کدام از پارامترها با داده‌های رادیوسوند مقدار ppm محاسبه شده است و درنهایت در هر اپک دسته پارامترهایی که کمترین RMSE را داشته باشند، به عنوان پارامترهای مدل تابعی انتخاب شده‌اند.

شکل ۵، مقدار RMSE بر حسب ppm برای هر کدام از پارامترهای مختلف مدل تابعی را نشان می‌دهد. همان‌گونه که در شکل ۵ مشاهده می‌شود، در هر دو اپک $k_{max} = 2$ توموگرافی مدل تابعی به ازای پارامترهای ۲ و ۰ = j دارای کمترین RMSE با $m = 2$ و ۰ = m باشد.



شکل ۵. مقدار RMSE به ازای پارامترهای مختلف مدل تابعی برای (الف) ساعت ۱۲ روز ۲۸ نوامبر سال ۲۰۱۸ و (ب) ساعت ۱۲ روز ۱۲ ماهی سال ۲۰۱۹. محورهای مسطحاتی به ترتیب مقدار RMSE را بر حسب درجه هارمونیک‌های کلاهکروی و درجه اسپلاین نمایش داده و همچنین محور عمودی نیز مقدار RMSE را بر حسب رزولوشن‌های سطحی مختلف اسپلاین نمایش می‌دهد. مربع آبی رنگ نیز بیان کننده پارامترهایی با کمترین مقدار RMSE است.

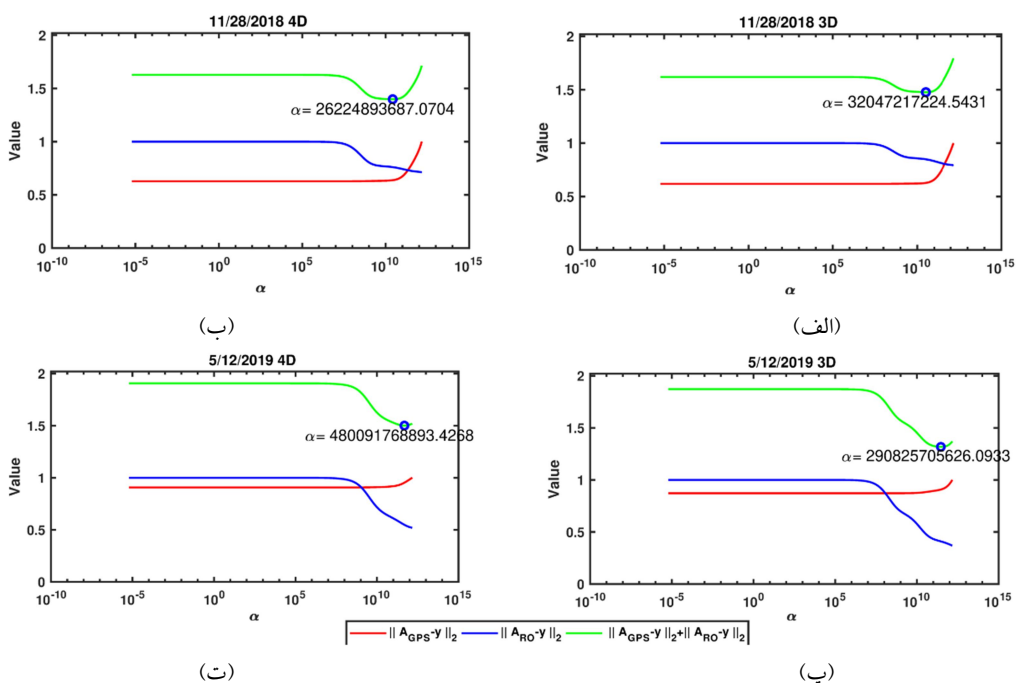
نسبت GPS، برآورده حاصل تنها تحت تأثیر مشاهدات GPS قرار دارد. بهمین دلیل وزن‌های نسبی انتخاب شده در هر یک از اپک‌ها عده‌های بزرگی هستند.

۴-۳. مقایسه نتایج با داده‌های رادیوسوند

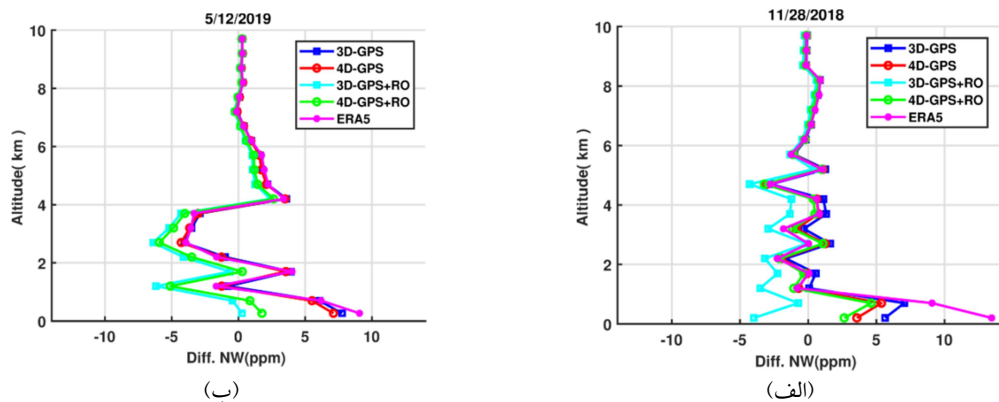
پس از تعیین پارامترهای مدل تابعی و همچنین وزن نسبی بین مشاهدات GPS و آکولوشن، ضرایب شکست تر در حالت‌های فقط استفاده از مشاهدات GPS و یا تلفیق مشاهدات GPS و آکولوشن در مدل‌های سه‌بعدی و چهار‌بعدی بازیابی شده و با داده‌های رادیوسوند و همچنین داده‌های ERA5 موجود در اپک در نظر گرفته شده مقایسه شده و مقدار RMSE برای آنها محاسبه شده است. شکل ۷، اختلاف مقدار ضرایب شکست تر هر یک از روش‌ها در دو اپک در نظر گرفته شده را با داده‌های رادیوسوند را نمایش می‌دهد. همچنین شکل ۸ مقدار RMSE هر یک از روش‌ها و درصد بهبود مقدار RMSE را نسبت به داده‌های ERA5 نشان می‌دهد.

برای تعیین وزن نسبی طبق تابع هدف تعیین شده در معادله (۲۵)، به ازای پارامترهای وزن نسبی مختلف مجھولات برآورده شده و با استفاده از نرم باقی‌مانده‌های دودسته مشاهده مقدار تابع هدف محاسبه می‌شود. و پارامتری به عنوان وزن نسبی انتخاب می‌شود که تابع هدف تعیین شده را کمینه کند. برای این منظور در این تحقیق پارامتر وزن نسبی بین بازه‌ی $\alpha = [10^{-7}, 10^{13}]$ در نظر گرفته شده و در هر دو اپک توموگرافی مدنظر برای مدل‌های تابعی سه‌بعدی و چهار‌بعدی، با استفاده از پارامترهای مدل تابعی در نظر گرفته شده، مقدار تابع هدف معادله (۲۵) به ازای پارامترهای وزن نسبی مختلف محاسبه شده است. شکل ۶ مقدار تابع هدف و نرم هر دسته از مشاهدات را به ازای پارامترهای وزن نسبی مختلف برای مدل‌های سه‌بعدی و چهار‌بعدی در اپک‌های توموگرافی نشان می‌دهد.

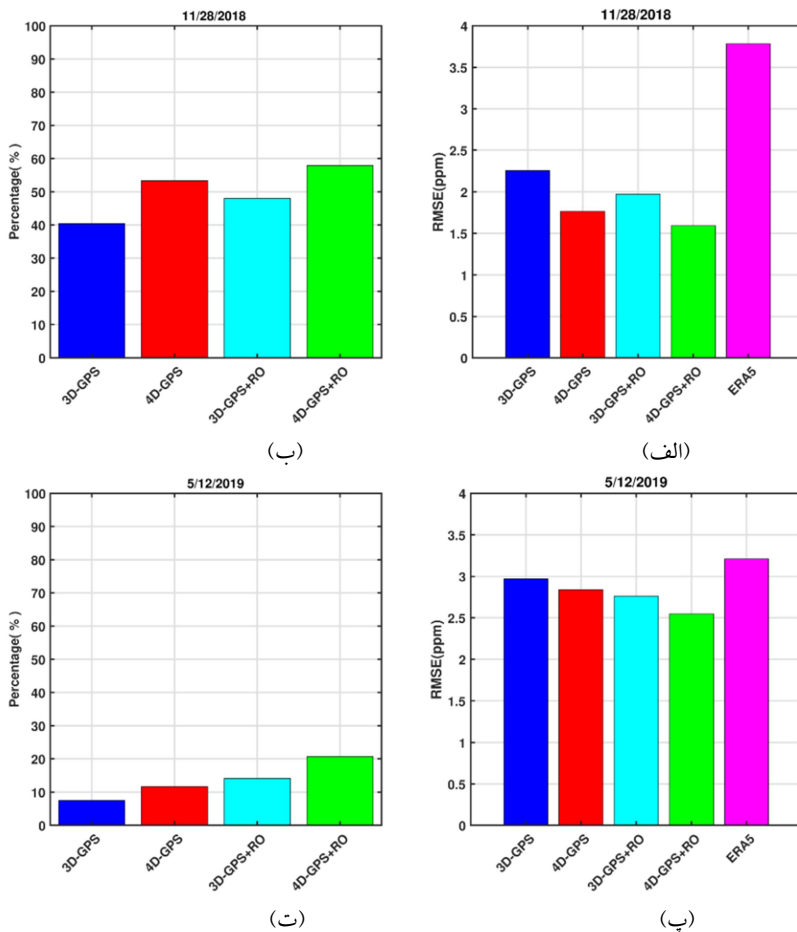
با توجه به نمودارهای سبزرنگ در شکل ۶ و همان‌گونه که قبلاً نیز بیان شد، برای پارامترهای وزن نسبی کوچک‌تر از 10^7 به علت تعداد کمتر مشاهدات آکولوشن



شکل ۶. خط قرمزرنگ مقدار اندازه باقی‌مانده‌های مشاهدات GPS، خط آبی‌رنگ مقدار باقی‌مانده‌های مشاهدات آکولوشن و خط سبزرنگ نیز مجموع آنها را نشان می‌دهد. (الف) نمودارهای مربوط به حالت سه‌بعدی روز ۲۸ نوامبر سال ۲۰۱۸، (ب) نمودارهای مربوط به حالت چهار‌بعدی روز ۲۸ نوامبر سال ۲۰۱۸، (پ) نمودارهای مربوط به حالت سه‌بعدی روز ۱۲ می سال ۲۰۱۹، (ت) نمودارهای مربوط به حالت چهار‌بعدی روز ۱۲ می سال ۲۰۱۹. پارامتر وزن نسبی انتخاب شده نیز با دایره آبی‌رنگ نمایش داده شده است.



شکل ۷. مقادیر اختلاف هر یک از روش‌ها با داده‌های رادیوسوند در ارتفاعات مختلف. خط‌های آبی، قرمز، فیروزه‌ای، سبز و بنفش به ترتیب اختلاف روش‌های سه‌بعدی فقط GPS، چهار بعدی تلفیق GPS با آکولوئیشن، چهار بعدی تلفیق GPS با آکولوئیشن و داده‌های ERA5 را با داده‌های رادیوسوند نمایش می‌دهد.



شکل ۸. نمودار (الف) مقدار RMSE هر یک از روش‌ها و نمودار (ب) نیز درصد بهبود مقدار RMSE را نسبت به داده‌های ERA5 در ساعت ۱۲ روز ۲۸ ماه نوامبر سال ۲۰۱۸ را نمایش می‌دهد. همچنین نمودار (ب) مقدار RMSE و نمودار (ت) نیز درصد بهبود آن را در ساعت ۱۲ روز ۱۲ ماهی می ۲۰۱۹ نشان می‌دهد.

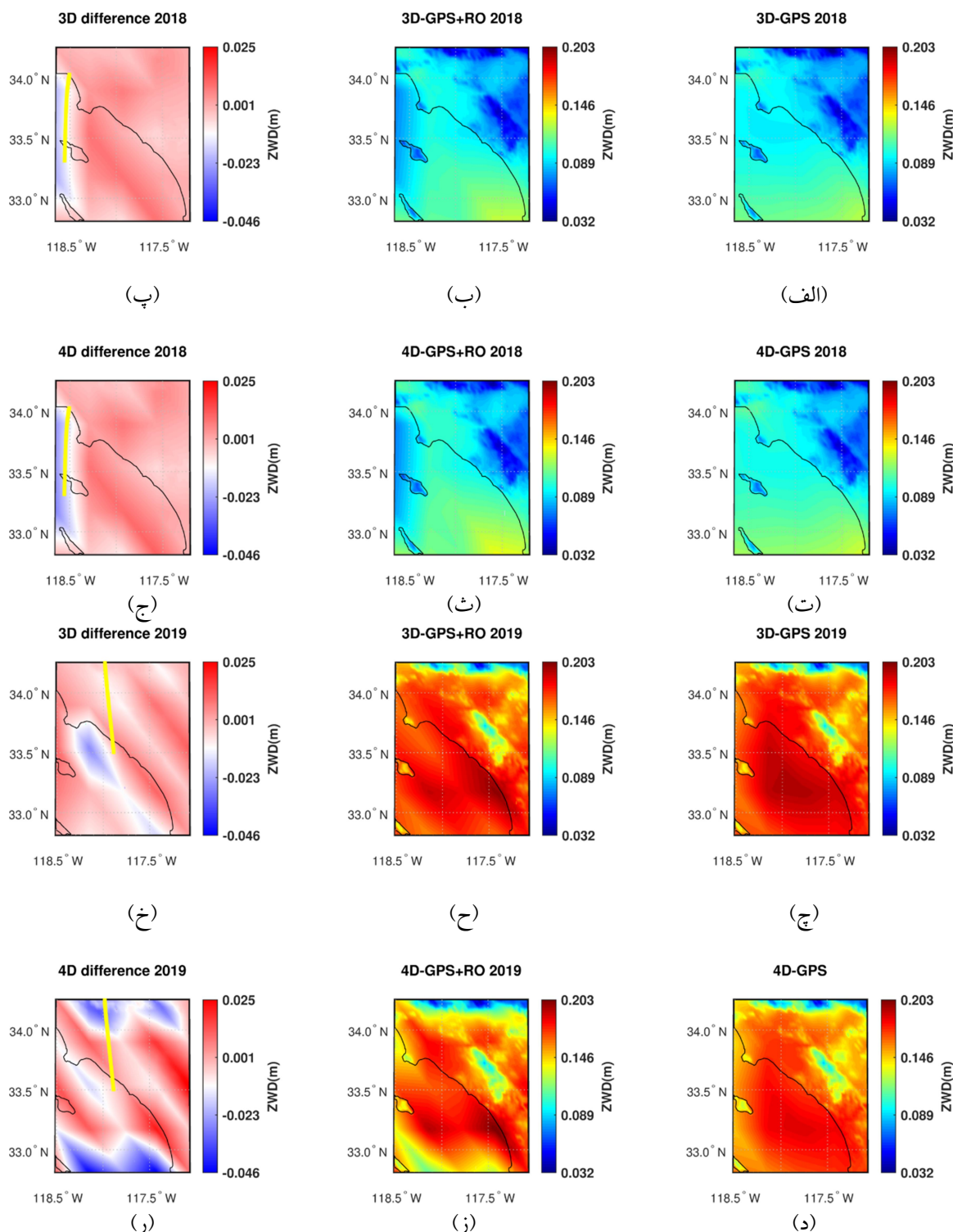
و می‌توان نتیجه گرفت که مدل تابعی به کار گرفته شده، دقت بهتری از داده‌های ERA5 دارد. همچنین در شکل ۸-ب مشاهده می‌شود که ترکیب مدل تابعی با داده‌های

با توجه به شکل ۸-الف و ب مشاهده می‌شود که بیشترین مقدار RMSE مربوط به داده‌های ERA5 است و دقت همه روش‌ها در هر دو اپک از این مدل عددی بیشتر است

طبق معادله (۲) می‌توان مقادیر تأخیر تروپوسفری تر را محاسبه کرد. برای این منظور با داشتن مدل ارتفاعی منطقه و تقسیم‌بندی ارتفاعی در نظر گرفته شده برای منطقه، مقدار طول سیگنال در هر المان حجمی محاسبه شده و سپس با استفاده از ضرایب مدل تابعی برآورده مقدار ضرایب شکست ترمنتاظر برای المان حجمی بازیابی شده و درنهایت طبق معادله (۲) می‌توان مقدار تأخیر تروپوسفری تر هر نقطه را محاسبه کرد. شکل ۹ مقایسه تأخیر تروپوسفری تر در منطقه موردمطالعه و در اپک‌های توموگرافی در نظر گرفته شده را برای هر کدام از حالت‌ها نمایش می‌دهد.

طبق شکل ۹-پ، ۹-ج، ۹-خ، ر اضافه کردن مشاهدات آکولوشن تنها ضرایب شکست تر نزدیک نقاط مشاهداتی را تحت تأثیر قرار نمی‌دهد؛ بلکه کل ضرایب شکست تر موجود در شبکه را تغییر می‌دهد و باعث ایجاد تغییراتی در حدود ۴ سانتی‌متر در تأخیر تروپوسفری تر می‌شود و در بالا نشان داده شد که این تغییر دقت را افزایش می‌دهد. با مقایسه شکل ۹-پ و ۹-ج با شکل ۹-خ و ۹-ر مشاهده می‌شود که مقدار تغییرات در ضرایب تأخیر تروپوسفری تر با تلفیق مشاهدات آکولوشن در روز ۱۲ می ۲۰۱۹ بیشتر از ۲۸ نوامبر ۲۰۱۸ است. همچنین با توجه به نقشه‌های مقادیر تروپوسفری تر دو روز می‌توان گفت که مقدار بخارآب بیشتری در روز ۱۲ می ۲۰۱۹ در شبکه موجود بوده است؛ بنابراین با توجه به مقادیر بیشتر بخارآب و تغییرات بیشتر آن در این اپک، تلفیق مشاهدات آکولوشن تأثیر بیشتری را در این اپک داشته است. همچنین با توجه به شکل ۹-ر می‌توان بیشترین اختلاف را در مقادیر تأخیر تروپوسفری تر حاصل از تنها مشاهدات GPS و تلفیق مشاهدات آکولوشن را مشاهده کرد. همان‌طور که گفته شد در این اپک مقادیر بخارآب بیشتر بوده و ارائه مدل تابعی چهاربعدی و همچنین تلفیق مشاهدات آکولوشن باعث تغییرات بیشتر مقادیر تأخیر تروپوسفری تر در این حالت شده است.

آکولوشن تا حدود ۵۸ درصد توانسته است مقدار RMSE داده‌های ERA5 را بهبود بخشد. در شکل ۸-ت نیز مشاهده می‌شود که کمترین درصد بهبود مربوط به اپک روز ۱۲ می سال ۲۰۱۹ در حالت مدل تابعی سه‌بعدی فقط با استفاده از مشاهدات GPS است که در حدود ۸ درصد مقدار RMSE را بهبود بخشیده است. در مقایسه روش‌های سه‌بعدی و چهاربعدی در حالت فقط استفاده از مشاهدات GPS با توجه به شکل ۸-ب و ت می‌توان به ترتیب درصد بهبود ۷ و ۴ درصدی را مشاهده کرد و دقت مدل تابعی چهاربعدی را در حالت فقط استفاده از مشاهدات GPS را نسبت به حالت سه‌بعدی نتیجه گرفت و می‌توان گفت که نمایش ضرایب مجھول بر حسب زمان باعث افزایش دقت توموگرافی انجام شده شده است. در مقایسه مدل تابعی سه‌بعدی و چهاربعدی در دو حالت فقط مشاهدات GPS و تلفیق مشاهدات GPS با آکولوشن می‌توان مشاهده کرد که مدل سه‌بعدی در اپک‌های روز ۲۸ نوامبر و ۱۲ می به ترتیب ۸ و ۷ درصد بهبود یافته است. همچنین مدل چهاربعدی نیز در این دو اپک به ترتیب در حدود ۱۰ و ۹ درصد بهبود یافته است. درنتیجه می‌توان گفت که اضافه کردن مشاهدات آکولوشن باعث افزایش دقت هر دو مدل سه‌بعدی و چهاربعدی شده است. در شکل ۸-الف و پ مشاهده می‌شود که کمترین مقدار GPS مربوط به حالت چهاربعدی تلفیق مشاهدات GPS و آکولوشن است. همچنین با توجه به خط‌های سبزرنگ در شکل ۷-الف و ب دیده می‌شود که اختلاف ضرایب حاصل از ترکیب مشاهدات آکولوشن با مشاهدات GPS در ارتفاع‌های کمتر از ۲ کیلومتر از بقیه روش کمتر است و می‌توان نتیجه گرفت که وابسته کردن ضرایب مجھول به زمان و اضافه کردن مشاهدات آکولوشن بهبود بیشتری در لایه‌های اولیه جو که بیشترین تغییرات ضرایب شکست را دارند به وجود آورده است. درنتیجه می‌توان نتیجه گرفت که این حالت بیشترین دقت را دارد. با استفاده از ضرایب شکست حاصل در کدام از روش‌ها و



شکل ۹. مقادیر تأخیر تروپوسفری تر موجود در شبکه بهازای روش‌های به کار گرفته شده. نمودار (الف) اختلاف مقادیر تأخیر تروپوسفری توموگرافی فقط مشاهدات آکولیشن را درروش سه‌بعدی، نمودار (ب) مقدار تأخیر تروپوسفری حاصل از تلفیق مشاهدات آکولیشن درروش سه‌بعدی، نمودار (پ) نیز مقدار تأخیر تروپوسفری مدل سه‌بعدی حاصل از فقط مشاهدات GPS، نمودار (ث) اختلاف مقادیر تأخیر تروپوسفری فقط مشاهدات GPS و مشاهدات آکولیشن را درروش چهاربعدی، نمودار (ج) مقدار تأخیر تروپوسفری حاصل از تلفیق مشاهدات آکولیشن درروش چهاربعدی، نمودار (چ) نیز مقدار تأخیر تروپوسفری مدل چهاربعدی حاصل از فقط مشاهدات GPS را در ۱۲ می ۲۰۱۹ نشان می‌دهند. نمودارهای (چ)، (ح)، (چ)، (د)، (ز) و (ر) نیز مربوط به مقادیر تأخیر تروپوسفری هر یک از روش‌ها در تاریخ ۲۸ نوامبر ۲۰۱۸ هستند. مشاهدات آکولیشن نیز با مرتعهای زردرنگ نمایش داده شده‌اند.

حالات سه بعدی و چهار بعدی استفاده شد. برای ارزیابی نتایج به دست آمده در مدل های سه بعدی و چهار بعدی در حالت فقط استفاده از مشاهدات GPS و حالت تلفیق مشاهدات GPS و آکولوئیشن با داده های ایستگاه رادیوسوند موجود در شبکه و همچنین داده های داده های ERA5 مقایسه شدند. نتایج حاصل نشان داد که مدل تابعی به کار گرفته شده دقیق بتری نسبت به داده های ERA5 دارد و ترکیب مدل تابعی چهار بعدی با داده های آکولوئیشن توانست تا ۵۸ درصد مقدار RMSE داده های ERA5 را بهبود بخشد. همچنین نتایج نشان دادند که در حالت فقط استفاده از مشاهدات GPS مدل تابعی چهار بعدی دقیق بتری دارد و توانست تا حدود ۷ درصد نسبت به مقدار RMSE داده های ERA5 بهبود را نشان دهد. همچنین با توجه به نتایج به دست آمده در هردو روش سه بعدی و چهار بعدی اضافه کردن مشاهدات آکولوئیشن باعث افزایش دقیق شد و بهترین دقیق نیز در مدل تابعی چهار بعدی حاصل شد. درنهایت نیز با مقایسه مقادیر تأخیر تروپوسفری تر در منطقه موردمطالعه نشان داده شد که اضافه کردن مشاهدات آکولوئیشن باعث تغییر در تأخیر تروپوسفری تر تمام نقاط شبکه می شود.

مراجع

- Adavi, Z. and Mashhadi-Hossainali, M., 2014, 4D tomographic reconstruction of the tropospheric wet refractivity using the concept of virtual reference station, case study: northwest of Iran. *Meteorology and Atmospheric Physics* 126, 193-205.
- Al-Fanek, O. J. S., 2013, Ionospheric imaging for Canadian polar regions. University of Calgary.
- Alizadeh, M., 2013, Multi-Dimensional modeling of the ionospheric parameters, using space geodetic techniques. Techn. Univ. Wien.
- Alizadeh, M., Schuh, H., Todorova, S. and Schmidt, M., 2011, Global ionosphere maps of VTEC from GNSS, satellite altimetry, and Formosat-3/COSMIC data. *Journal of Geodesy* 85, 975–987.
- Aster, R., Borchers, B. and Thurber, C., 2005, Parameter estimation and inverse problems: Elsevier Academic. Borchers, CH Thurber-Elsevier-Academic Press, New York, London.
- Bender, M., Dick, G., Ge, M., Deng, Z., Wickert, J., Kahle, H., Raabe, A. and Tetzlaff, G., 2011, Development of a GNSS water vapour tomography system using algebraic reconstruction techniques. *Advances in Space Research* 47, 1704-1720.
- Bender, M., Dick, G., Heise, S., Zus, F., Deng, Z., Shangguan, M., Ramatschi, M. and Wickert, J., 2013, GNSS Water Vapor Tomography.
- Bender, M. and Raabe, A., 2007, Preconditions to ground based GPS water vapour tomography. *Annales geophysicae*. pp. 1727-1734.
- Bevis, M., Businger, S., Herring, T. A., Rocken, C., Anthes, R. A. and Ware, R. H., 1992, GPS meteorology: Remote sensing of atmospheric water vapor using the Global Positioning System. *Journal of Geophysical Research: Atmospheres* 97, 15787-15801.
- Bjornsson, H. and Venegas, S., 1997, A manual for EOF and SVD analyses of climatic data.

۵-نتیجه گیری

هدف این مقاله استفاده از مشاهدات آکولوئیشن در توموگرافی ضرایب شکست ترجو با استفاده از مدل های تابعی سه بعدی و چهار بعدی است. استفاده از مدل تابعی باعث می شود که با کاهش مجهولات مسئله توموگرافی در حالت المان حجمی، مسئله بدوضع توموگرافی را بتوان حل کرد و نهایتاً پروفیل های ضرایب شکست ترجو به دست آورد. برای این منظور از ترکیب مدل تابعی هارمونیک های کلاه کروی و توابع متعامد تجربی برای نمایش سه بعدی مجهولات و همچنین به کار گیری توابع پایه اسپیلانین چندجمله ای برای وابستگی مجهولات به زمان و نمایش چهار بعدی آنها استفاده شد به طوری که از هارمونیک های کلاه کروی برای نمایش مجهولات در راستای طول جغرافیایی و عرض جغرافیایی، از توابع متعامد تجربی برای نمایش تغییرات ارتفاعی بهره گرفته شد. درنهایت برای نشان دادن مجهولات در طول زمان نیز از توابع پایه اسپیلانین چندجمله ای استفاده شد. پس از تعیین پارامترهای مدل های تابعی مشاهدات آکولوئیشن به مدل تابعی اضافه شدند. به علت تفاوت در تعداد و همچنین جنس مشاهدات آکولوئیشن، وزن نسبی بین دسته مشاهدات آکولوئیشن و GNSS برآورد شد و از این مشاهدات جهت برآورد ضرایب شکست ترجو در

- CCGCR Report 97, 112-134.
- Böhm, J., Heinkelmann, R. and Schuh, H., 2007, Short note: a global model of pressure and temperature for geodetic applications. *Journal of Geodesy* 81, 679-683.
- Böhm, J., Niell, A., Tregoning, P. and Schuh, H., 2006, Global Mapping Function (GMF): A new empirical mapping function based on numerical weather model data. *Geophysical Research Letters* 33.
- Champollion, C., Masson, F., Bouin, M.-N., Walpersdorf, A., Doerflinger, E., Bock, O. and Van Baelen, J., 2005, GPS water vapour tomography: preliminary results from the ESCOMPTE field experiment. *Atmospheric research* 74, 253-274.
- Chen, P., Yao, Y. and Yao, W., 2017, Global ionosphere maps based on GNSS, satellite altimetry, radio occultation and DORIS. *GPS solutions* 21, 639-650.
- Dettmering, D., Schmidt, M., Heinkelmann, R. and Seitz, M., 2011, Combination of different space-geodetic observations for regional ionosphere modeling. *Journal of Geodesy* 85, 989-998.
- Farzaneh, S. and Forootan, E., 2018, Reconstructing Regional Ionospheric Electron Density: A Combined Spherical Slepian Function and Empirical Orthogonal Function Approach. *Surveys in Geophysics* 39, 289-309.
- Flores, A., Ruffini, G. and Rius, A., 2000, 4D tropospheric tomography using GPS slant wet delays. *Annales Geophysicae*. Springer, 223-234.
- Forootan, E., 2014, Statistical signal decomposition techniques for analyzing time-variable satellite gravimetry data. Universitäts-und Landesbibliothek Bonn.
- Haines, G., 1985, Spherical cap harmonic analysis. *Journal of Geophysical Research: Solid Earth* 90, 12563-12574.
- Haji-Aghajany, S. and Amerian, Y., 2017, Three dimensional ray tracing technique for tropospheric water vapor tomography using GPS measurements. *Journal of Atmospheric and Solar-Terrestrial Physics* 164, 81-88.
- Haji-Aghajany, S., Amerian, Y. and Verhagen, S., 2020a, B-spline function-based approach for GPS tropospheric tomography. *GPS Solutions* 24, 1-12.
- Haji-Aghajany, S., Amerian, Y., Verhagen, S., Rohm, W. and Ma, H., 2020b, An optimal troposphere tomography technique using the WRF model outputs and topography of the area. *Remote Sensing* 12, 1442.
- Hansen, P. C., 1998, Rank-deficient and discrete ill-posed problems: numerical aspects of linear inversion. SIAM.
- Hersbach, H., Bell, B., Berrisford, P., Hirahara, S., Horányi, A., Muñoz-Sabater, J., Nicolas, J., Peubey, C., Radu, R. and Schepers, D., 2020, The ERA5 global reanalysis. *Quarterly Journal of the Royal Meteorological Society* 146, 1999-2049.
- Hirahara, K., 2000, Local GPS tropospheric tomography. *Earth, planets and space* 52, 935-939.
- Koch, K.-R. and Kusche, J., 2002, Regularization of geopotential determination from satellite data by variance components. *Journal of Geodesy* 76, 259-268.
- Limberger, M., 2015, Ionosphere modeling from GPS radio occultations and complementary data based on B-splines. *Technische Universität München*.
- Liu, Z., 2004, Ionosphere tomographic modeling and applications using Global Positioning System (GPS) measurements.
- Razin, M. R. G. and Voosoghi, B., 2017, Regional ionosphere modeling using spherical cap harmonics and empirical orthogonal functions over Iran. *Acta Geodaetica et Geophysica* 52, 19-33.
- Recommendation, I., 453-9, 2001, The radio refractive index: its formula and refractivity data. *Recommendations and Reports of the ITU-R* 8, 618-7.
- Schmidt, M., Dettmering, D., Mößmer, M., Wang, Y. and Zhang, J., 2011, Comparison of spherical harmonic and B spline models for the vertical total electron content. *Radio Science* 46.
- Schumaker, L. L. and Traas, C., 1991, Fitting scattered data on spherelike surfaces using tensor products of trigonometric and polynomial splines. *Numerische Mathematik* 60, 133-144.
- Sharifi, M.A., Sam-Khaniani, A., Joghataei, M., Schmidt, T., Masoumi, S. and Wickert, J., 2013, Tropopause analysis over the Iranian region using GPS radio occultation data. *Advances in Space Research* 52, 1700-1707.
- Subirana, J. S., Hernandez-Pajares, M. and Zornoza, J.e.M.J., 2013, *GNSS Data Processing: Fundamentals and Algorithms*. European Space Agency.
- Xia, P., Cai, C. and Liu, Z., 2013, GNSS troposphere tomography based on two-step reconstructions using GPS observations and COSMIC profiles. *Annales geophysicae*. Copernicus GmbH (Copernicus Publications) on behalf of the European Geosciences Union (EGU).
- Xu, X., Luo, J. and Shi, C., 2009, Comparison of COSMIC radio occultation refractivity profiles with radiosonde measurements. *Advances in Atmospheric Sciences* 26, 1137-

- 1145.
- Zhao, Q., Yao, Y. and Yao, W, 2018,
Troposphere water vapour tomography: A
horizontal parameterised approach. *Remote
Sensing* 10, 1241.

Combination of Radio Occultation data in 3D and 4D functional model tomography for retrieving the wet refractivity indices

Dehvari, M.¹, Farzaneh, S.^{2*} and Sharifi, M. A.³

1. Ph.D. Student, Department of Surveying and Geomatics Engineering, Faculty of Engineering, University of Tehran, Tehran, Iran
2. Assistant Professor, Department of Surveying and Geomatics Engineering, Faculty of Engineering, University of Tehran, Tehran, Iran
3. Associate Professor, Department of Surveying and Geomatics Engineering, Faculty of Engineering, University of Tehran, Tehran, Iran

(Received: 7 April 2021, Accepted: 20 Sep 2021)

Summary

Atmospheric wet refractivity indices, which are dependent on the water vapor, are one of the most important parameters for analyzing climate change in an area. Wet refractivity indices can be estimated from Radiosonde stations measurement or calculated from numerical meteorological models. But due to low temporal and spatial resolution of radiosonde stations and severe variations of water vapor in the lower levels of Atmosphere, today's numerical meteorological models provide low accuracy for atmospheric parameters. But nowadays, by growing number of stations that can use global positioning satellite measurements, atmospheric parameter can be estimated via remote sensing measurements in wide temporal and spatial resolutions. Wet refractivity indices cause delay in GPS measurement signals thus this delay have information about distribution of wet refractivity indices in atmosphere. By the use of global positioning satellites that can estimate atmospheric wet delay and tomography method, wet refractivity indices can be estimated. One of the growing methods for measuring the atmosphere parameters is the radio occultation technique. By increasing the number of low earth orbit satellites that carry GNSS receiver, this technique can provide observation in all of the globe, which its observations are obtained directly from the type of atmosphere parameters. The aim of this study is to use a combination of RO and GPS observation in 3D and 4D atmospheric tomography. But since tomography problem are ill-posed because of the poor distribution of GPS observations in network, a functional model has been implemented to estimate the wet refractivity indices from of the atmospheric tomography problem. By expanding tomography's unknowns to base functions coefficients, the number of unknowns will be decreased and problem will become well-posed and unknowns can be estimated from inverse problem. In the three-dimensional functional model, combination of spherical cap harmonics and empirical orthogonal functions have been used to solve the inverse problem. Spherical cap harmonics are used to represent the wet refractivity indices in horizontal distribution and empirical orthogonal functions are used for the vertical distribution of the unknown coefficients. Eventually, the B-spline is used to represent the four-dimensional functional model and the dependence of coefficients to the time. After implementing 3D and 4D functional models, the relative weight of RO data with comparison to GPS data has been calculated using variance component method. The US region of California has been selected as the study network due to its high tectonic importance and the large number of GPS stations. The results in two considered tomography epochs have been validated with radiosonde station data in the network and also have been compared with ERA5 reanalysis data. Comparison of the profiles obtained from tomography and the ERA5 data profiles with the radiosonde wet refractivity indices shows that the results obtained from the functional model tomography are better than those of the ERA5 data. The results of the combination illustrate that using RO data in both 3D and 4D models, the RMSE has been decreased and showed improvement of about 7 to 10 percent compared to uncombined tomographic models. Also, it is seen that using RO data in the 4D model has higher accuracy compared to the 3D model due to the use of a time-dependent functional model that increases the functional model's accuracy.

Keywords: Spherical cap harmonics, Radiosonde, variance component estimation, Slant wet delay, base spline function.

* Corresponding author:

farzaneh@ut.ac.ir